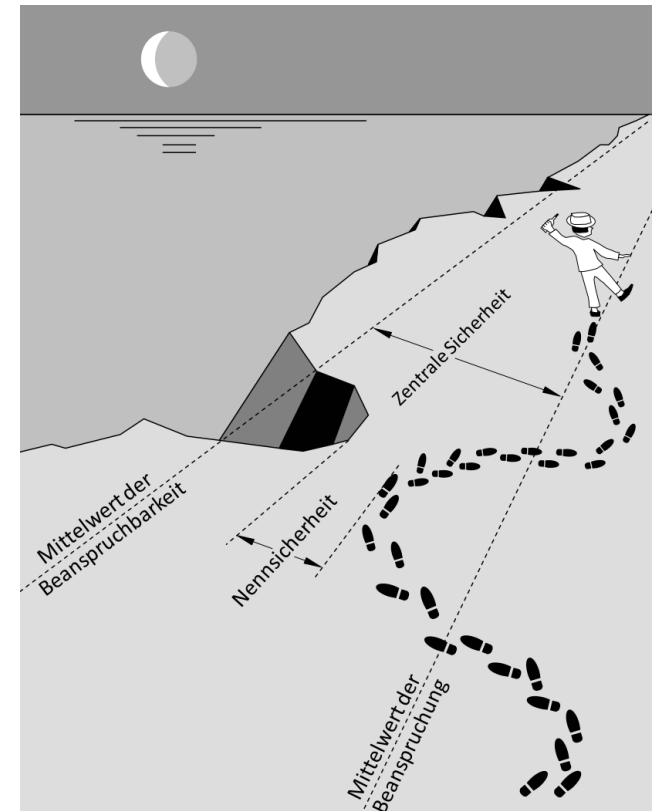


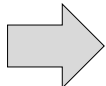
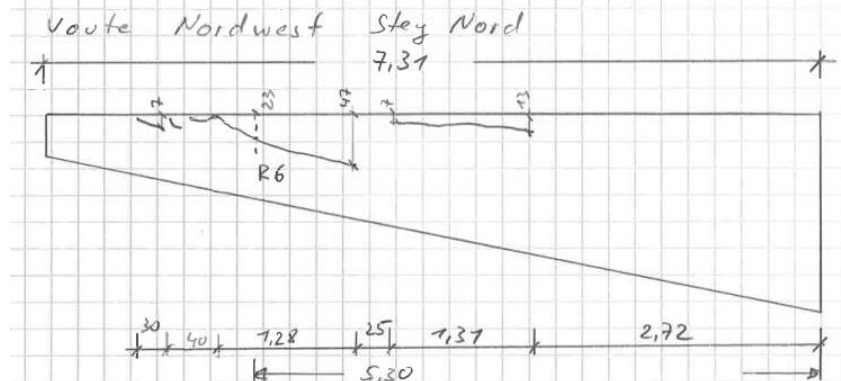
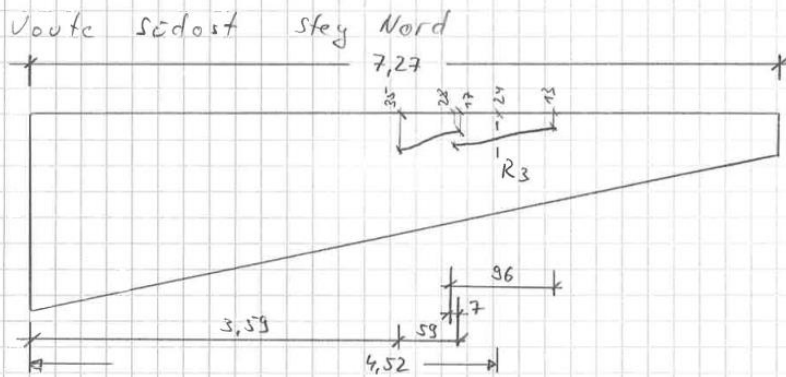
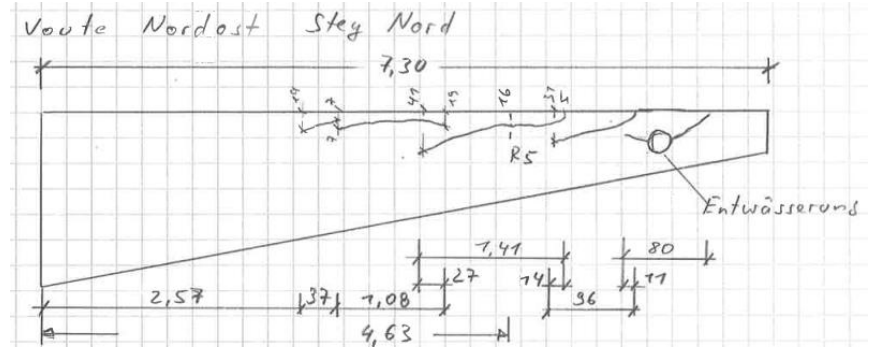
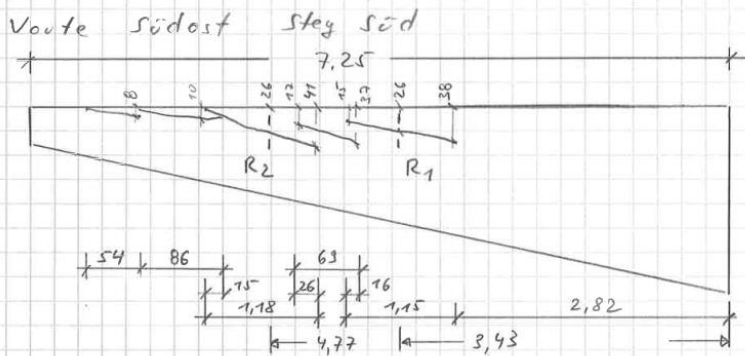
Sperrung der Pilzhochstraße am 22.08.2019

Zwischensachstandsbericht



Ausgangslage / Veränderung der dokumentierten Rissbilder

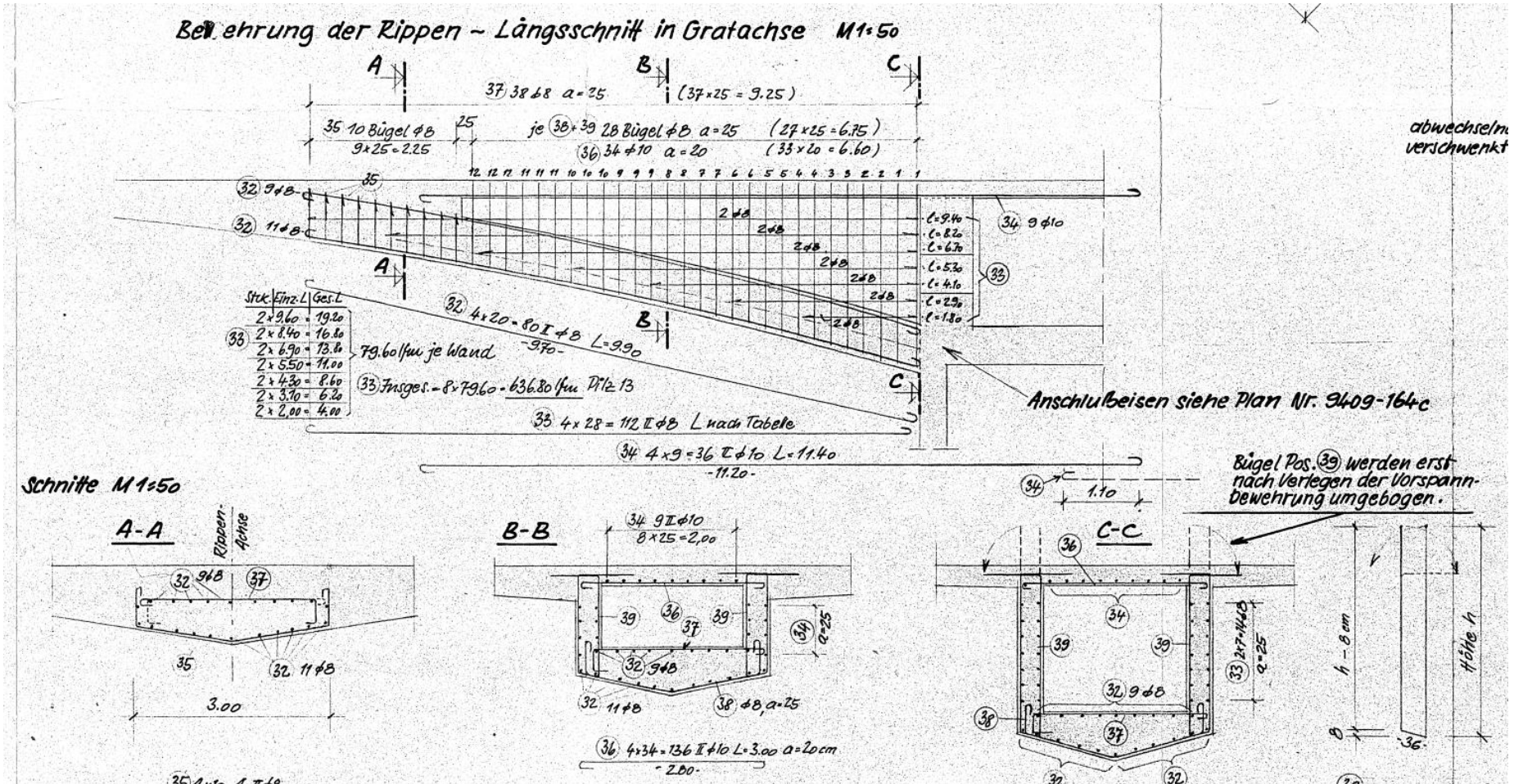
Beispielhafter Pilz 13, Auszug aus dem uns vorliegenden Risskataster mit Stand 23.08.2013



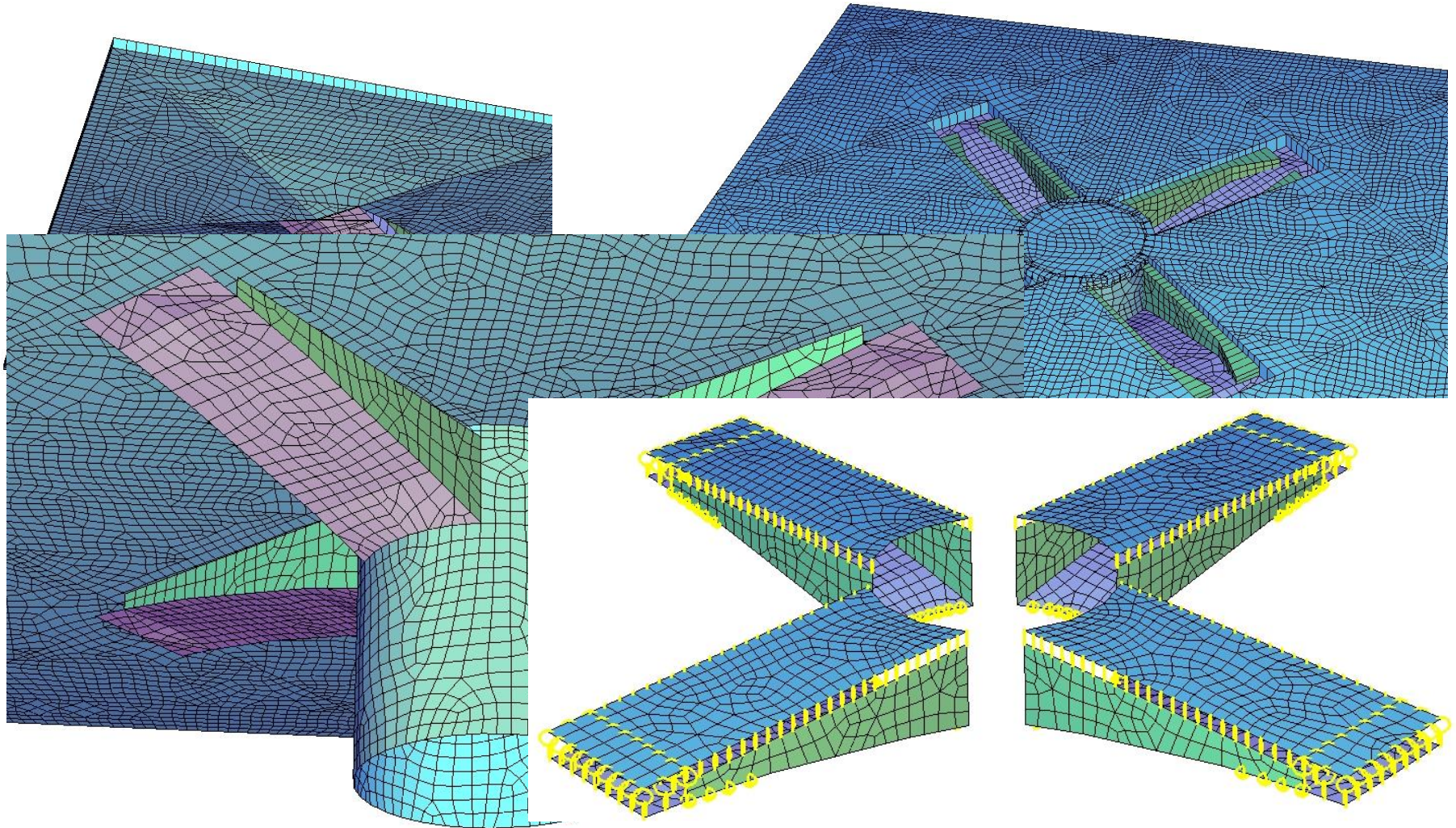
Bei der visuellen Begutachtung des Bauwerks konnte innerhalb eines Monats an mehreren Stellen (insb. Hohlkästen) eine Vergrößerung der dokumentierten Rissbreiten bzw. Risslängen beobachtet werden

Ausgangslage / Vorhandene Betonstahlbewehrung im Bereich der Hohlkästen

Beispielhafter Pilz 13, Auszug aus Bestandsbewehrungsplan



Analyse des Rissbildes durch rechnerische Untersuchungen am modifizierten Rechenmodell des Teilbauwerks 167



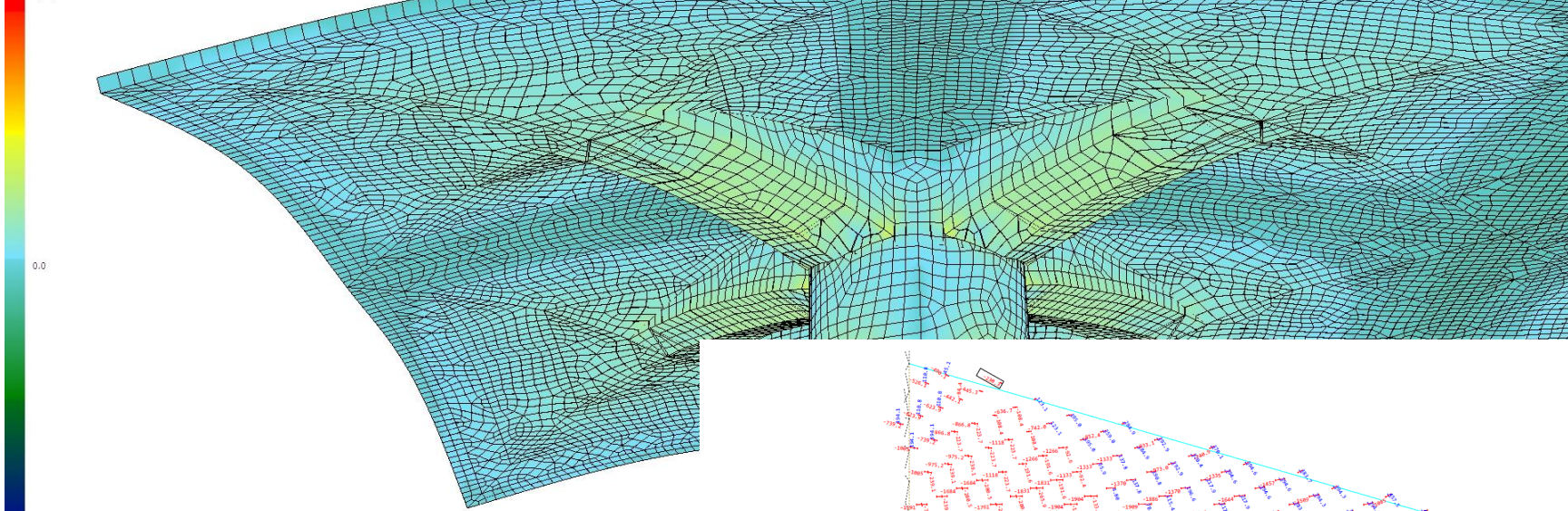
Analyse des Rissbildes durch rechnerische Untersuchungen am modifizierten Rechenmodell des Teilbauwerks 167 - Referenzmodellierung

Beispielhaft: deutlich überhöhte Verformung der Tragstruktur unter ständigen Lasten

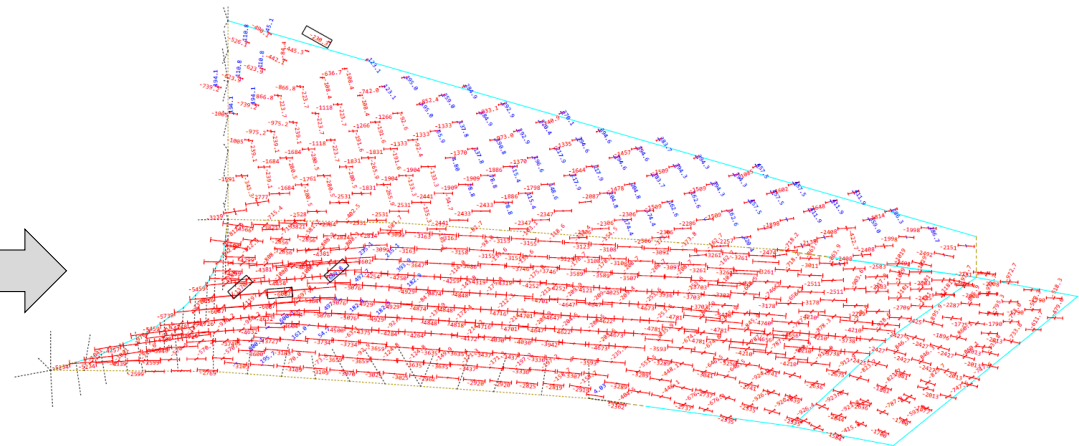
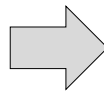
LF 11 (G_1) ZRX=0.0kN ZRY=0.0kN ZRZ=-38753.5kN



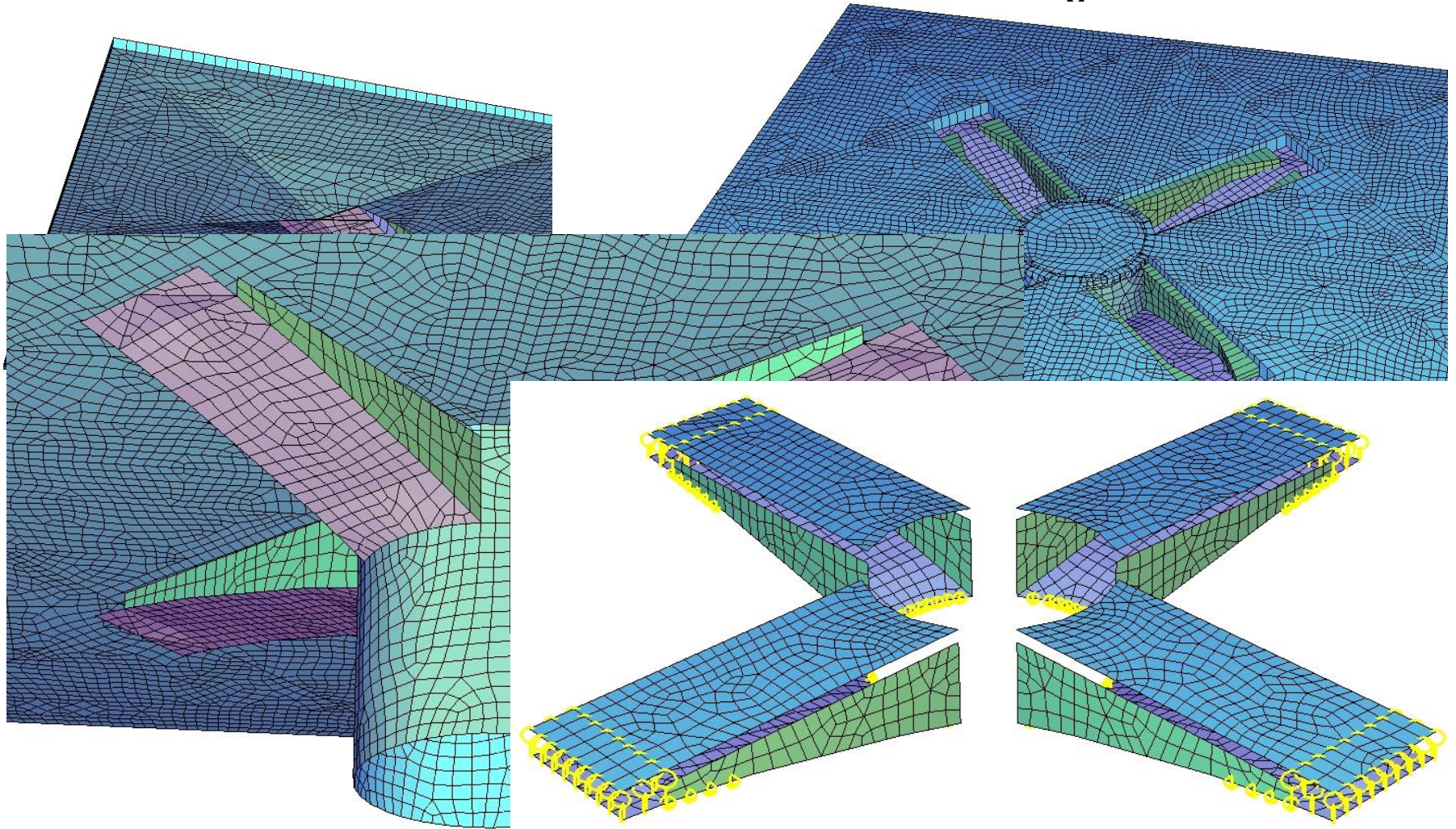
Ausnutzungsgrad (sigma/fc)
max. (sigma+QUAD) ungefähr 45.13MPa (sigma/fc = 0.45)
Druck
sigma/fc = -0.451



Beispielhaft: resultierende Hauptmembrankräfte in den Stegen und der unteren Platte des Hohlkastens



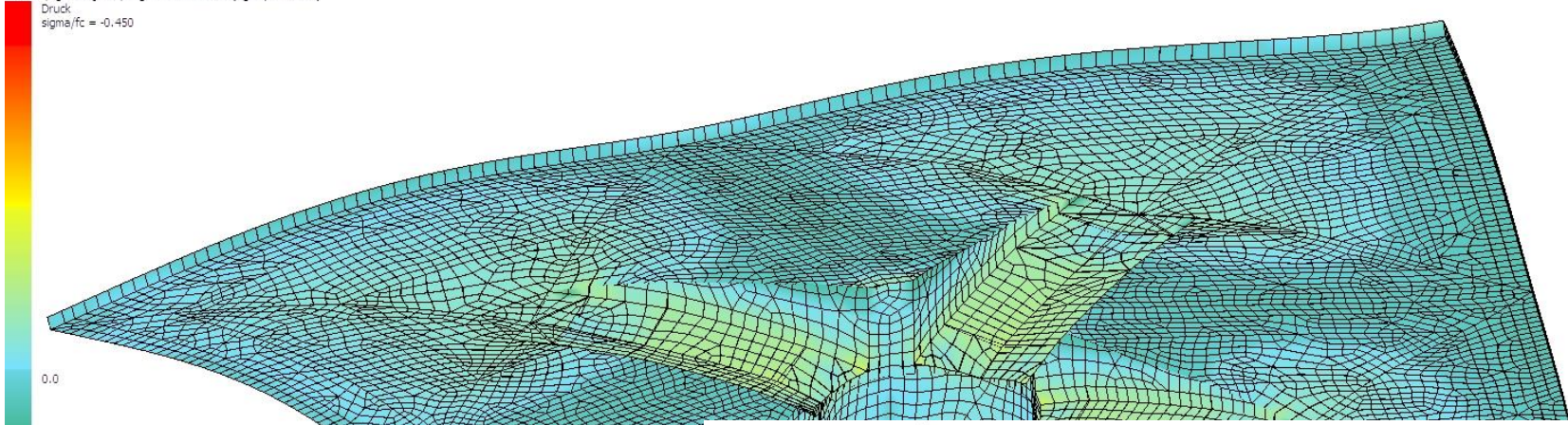
Analyse des Rissbildes durch rechnerische Untersuchungen am modifizierten Rechenmodell des Teilbauwerks 167 - 1. Modifizierte Modellierung



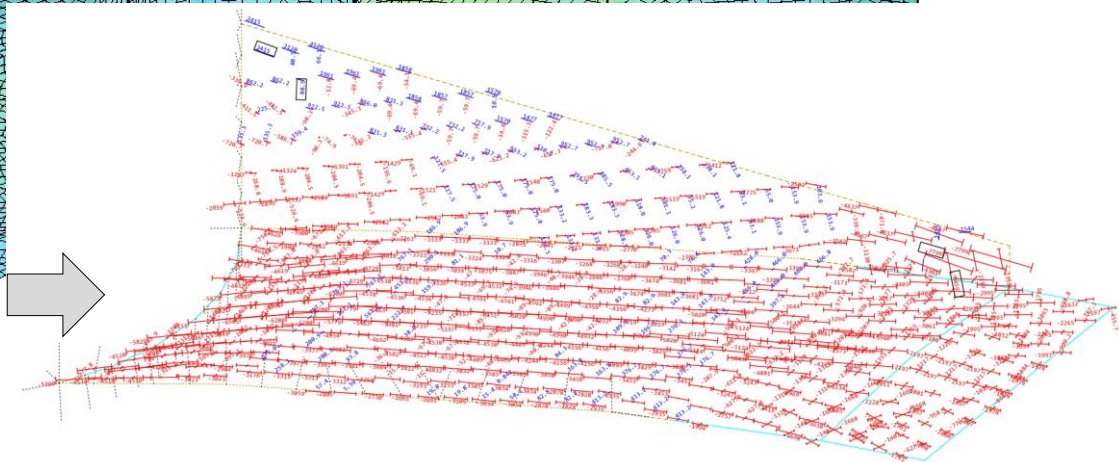
Analyse des Rissbildes durch rechnerische Untersuchungen am modifizierten Rechenmodell des Teilbauwerks 167 - 1. Modifizierte Modellierung

Beispielhaft: deutlich überhöhte Verformung der Tragstruktur unter ständigen Lasten

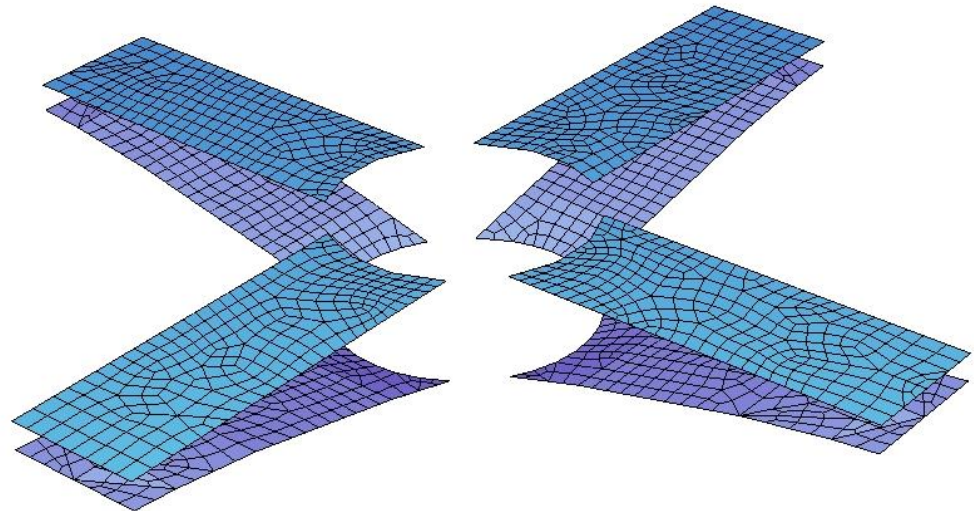
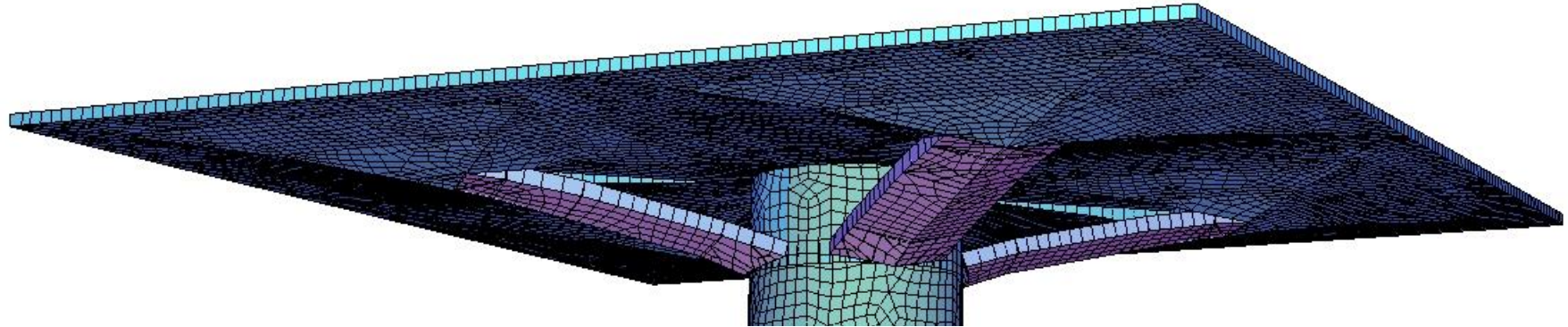
Ausnutzungsgrad (σ/σ_c)
max.: | $\sigma_{\text{max}} - \text{QUAD}$ | ungefähr 44,96MPa ($\sigma/\sigma_c = 0,45$)
Druck:
 $\sigma/\sigma_c = -0,450$



Beispielhaft: resultierende Hauptmembrankräfte in den Stegen und der unteren Platte des Hohlkastens

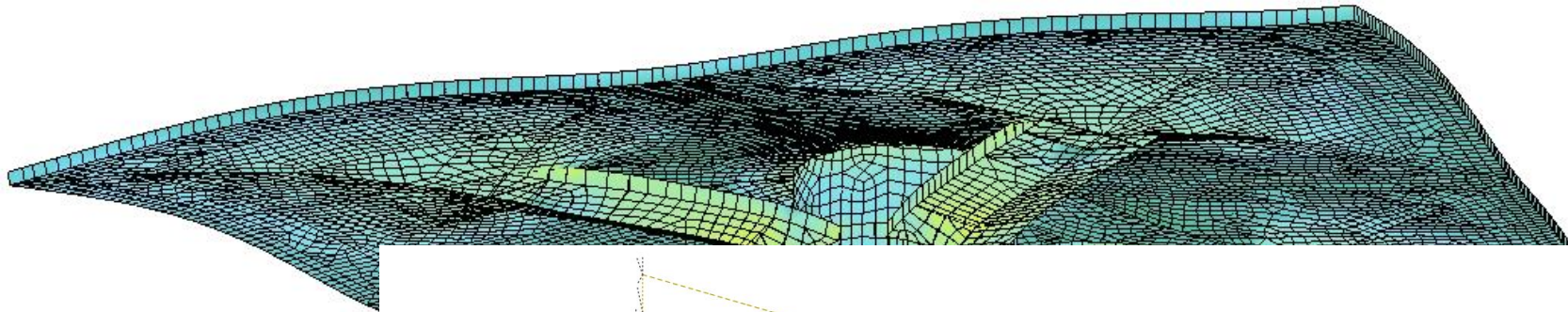


Analyse des Rissbildes durch rechnerische Untersuchungen am modifizierten Rechenmodell des Teilbauwerks 167 - 2. Modifizierte Modellierung

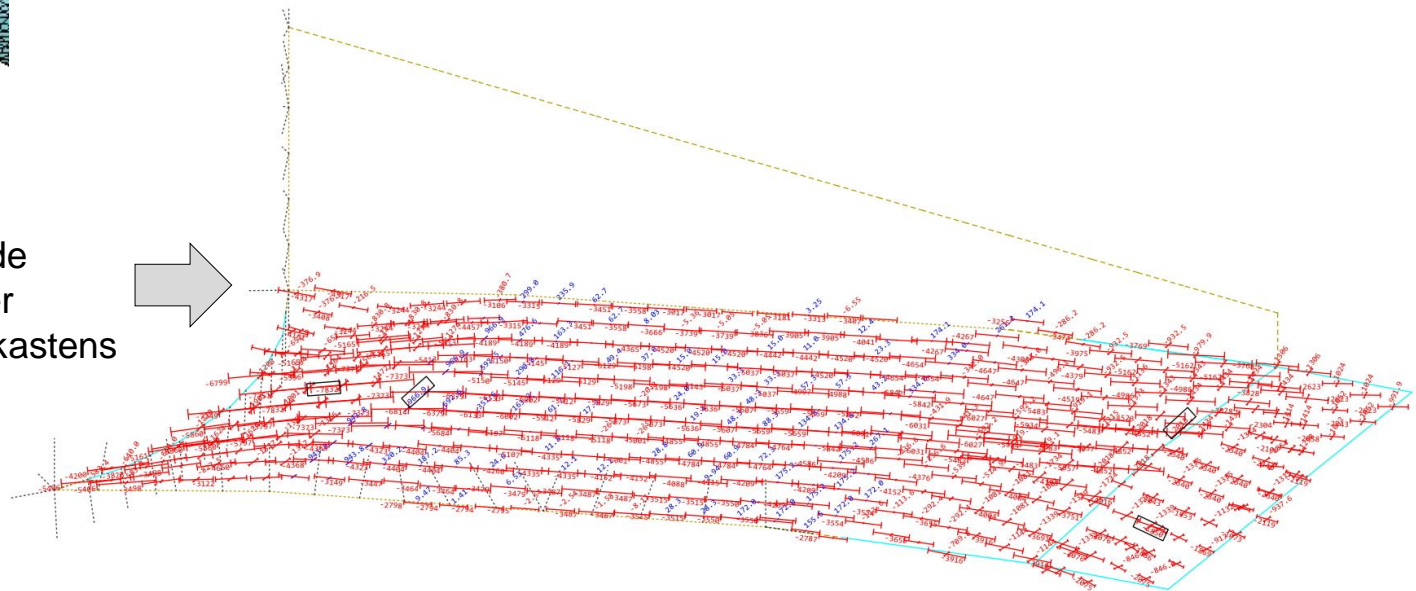


Analyse des Rissbildes durch rechnerische Untersuchungen am modifizierten Rechenmodell des Teilbauwerks 167 - 2. Modifizierte Modellierung

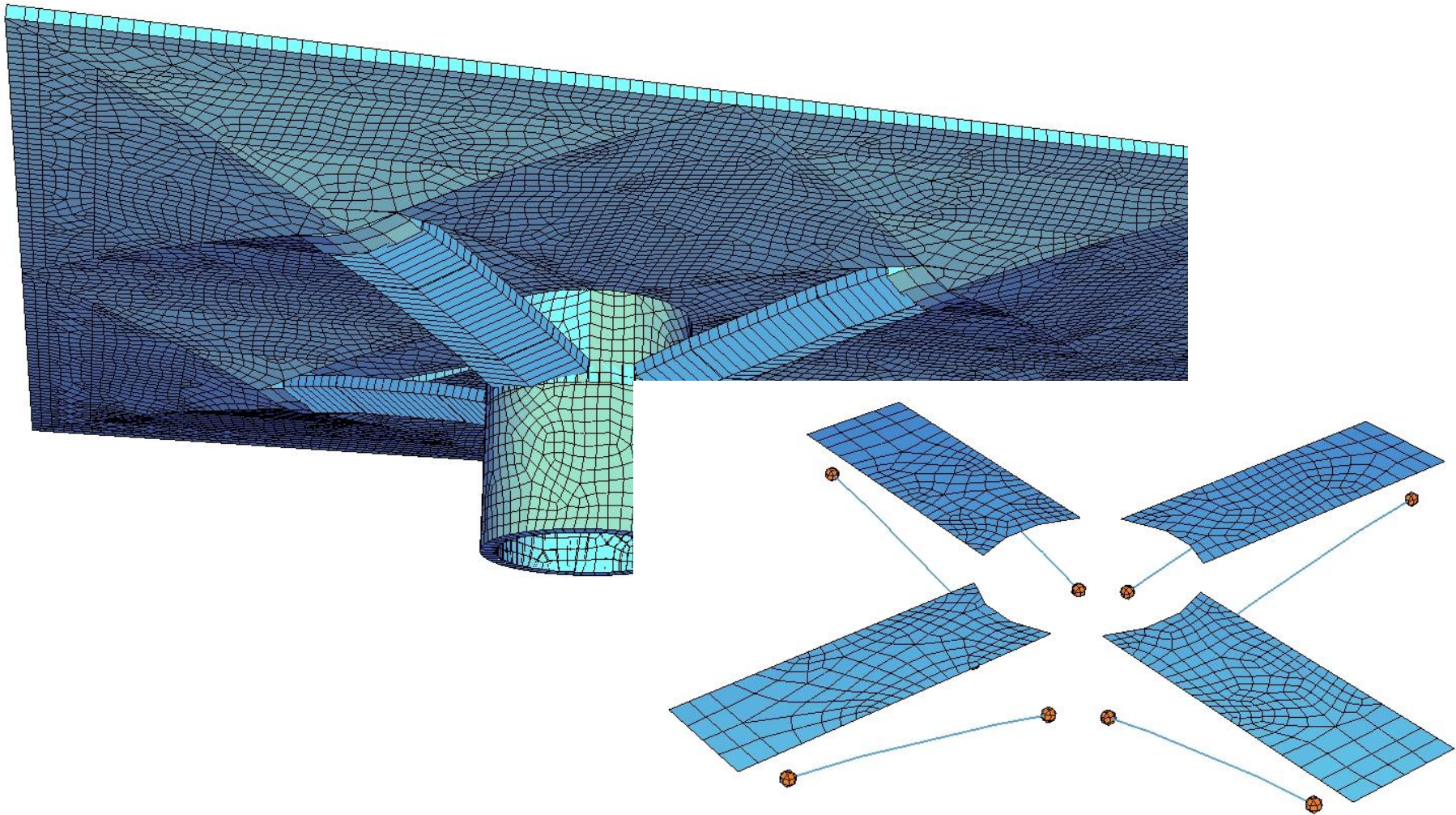
Beispielhaft: deutlich überhöhte Verformung der Tragstruktur unter ständigen Lasten



Beispielhaft: resultierende Hauptmembrankräfte der unteren Platte des Hohlkastens

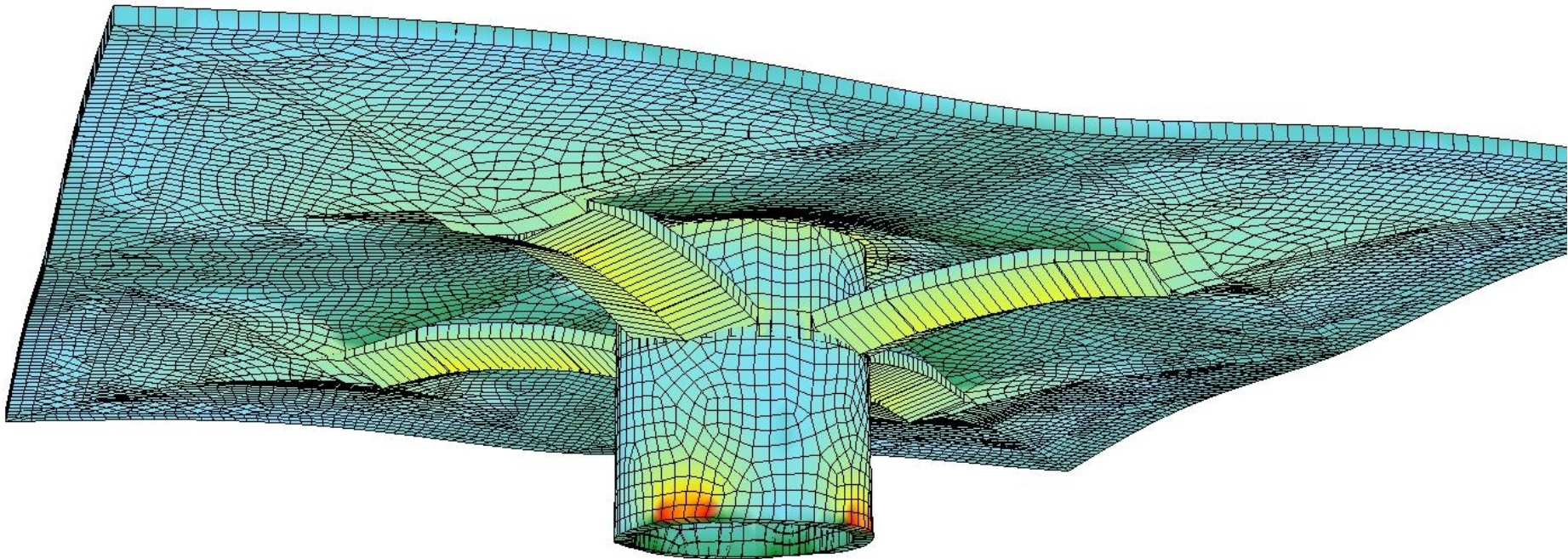


Analyse des Rissbildes durch rechnerische Untersuchungen am modifizierten Rechenmodell des Teilbauwerks 167 - 6. Modifizierte Modellierung

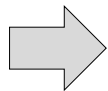
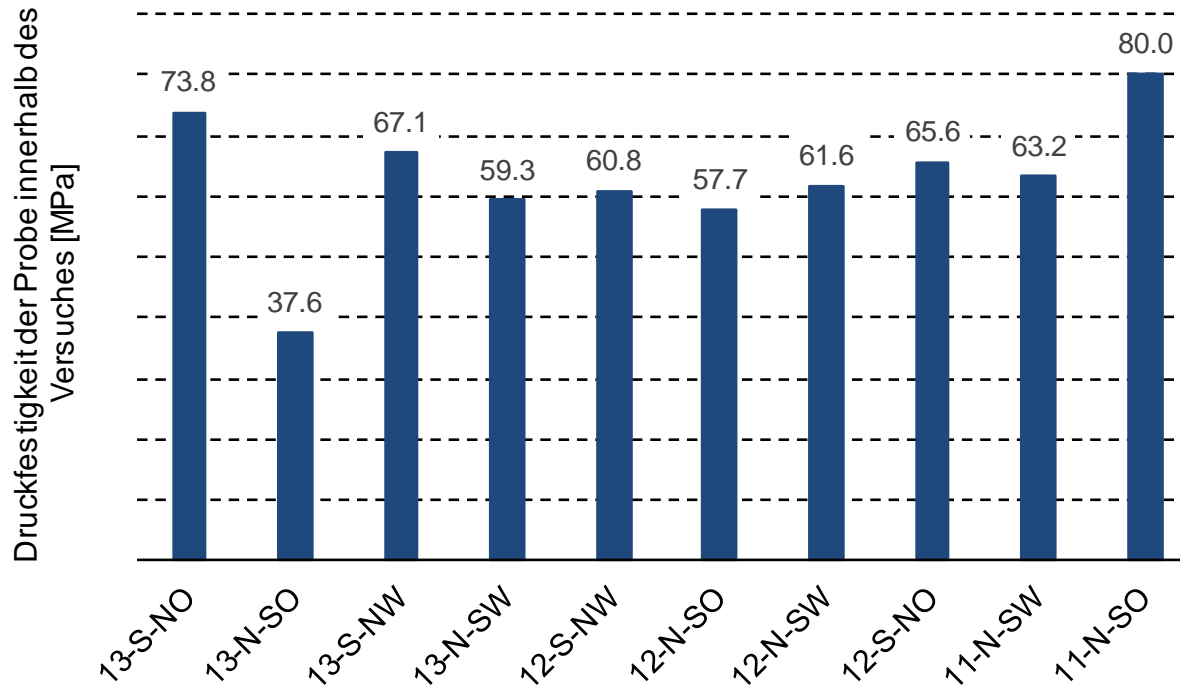


Analyse des Rissbildes durch rechnerische Untersuchungen am modifizierten Rechenmodell des Teilbauwerks 167 - 2. Modifizierte Modellierung

Beispielhaft: deutlich überhöhte Verformung der Tragstruktur unter ständigen Lasten



Vorläufige Ergebnisse der Werkstoffuntersuchungen



Charakteristische Betondruckfestigkeit „ohne“ 13-N-SO: 51,2 N/mm²

Charakteristische Betondruckfestigkeit „mit“ 13-N-SO: 41,2 N/mm²